

# Solução Híbrida para Dinâmica Quântica: Unindo Physics-Informed Neural Networks e Mecânica Matricial

Autor: Vagner Jandre Monteiro<sup>1</sup>

<sup>1</sup>Universidade do Estado do Rio de Janeiro, Instituto Politécnico - Nova Friburgo, RJ, Brasil.

Data: 05/12/2025

## Resumo

Este trabalho apresenta uma abordagem computacional para a resolução da Equação de Schrödinger 1D fundamentada em *Physics-Informed Neural Networks* (PINNs). Em contraste com métodos tradicionais de discretização em malha (*mesh-based*), a proposta utiliza a rede neural como um aproximador funcional contínuo para determinar simultaneamente as funções de onda e os autovalores de energia, minimizando o resíduo da equação diferencial na função de perda. O estudo introduz uma metodologia híbrida inovadora: a PINN é empregada para obter os autoestados estacionários, enquanto a evolução temporal é computada analiticamente através do formalismo da Mecânica Matricial. A validação no sistema do Oscilador Meio-Harmônico demonstra que esta estratégia, aliada a técnicas de correção de fase (*Gauge Fixing*) e integração numérica de alta precisão, mitiga eficazmente ruídos numéricos e alcança concordância rigorosa com métodos espectrais de referência.

## 1. Introdução

A simulação de sistemas quânticos constitui um desafio central na física computacional moderna. Métodos numéricos convencionais, como Diferenças Finitas (FDM) ou Elementos Finitos (FEM), embora robustos, frequentemente enfrentam limitações severas, como a "maldição da dimensionalidade" e a dependência de malhas de discretização que podem introduzir erros significativos de truncamento. Como alternativa, o uso de redes neurais como aproximadores universais para a resolução de equações diferenciais foi proposto pioneiramente por Lagaris et al. (1998) [4]. Este trabalho estabeleceu as bases para métodos computacionais *mesh-free*, capazes de resolver equações diferenciais parciais (EDPs) sem a necessidade de uma malha predefinida para discretizar o domínio do problema.

Recentemente, esta abordagem foi formalizada e significativamente expandida sob a denominação de *Physics-Informed Neural Networks* (PINNs) por Raissi et al. (2019) [6]. A principal inovação das PINNs reside no uso sistemático de diferenciação automática para computar o resíduo da equação diferencial e incorporá-lo diretamente na função de perda da rede. No entanto, a aplicação direta de PINNs para modelar a dinâmica temporal (equações dependentes do tempo) apresenta desafios consideráveis, notadamente a

propagação acumulativa de erros e o elevado custo computacional associado ao treinamento em domínios espaço-temporais contínuos.

Neste contexto, este trabalho propõe uma arquitetura híbrida que desacopla o problema espacial do temporal. Utilizamos uma PINN para resolver o problema de autovalor da Equação de Schroedinger Independente do Tempo, obtendo os estados estacionários com alta precisão. Subsequentemente, empregamos o formalismo da Mecânica Matricial de Heisenberg, conforme descrito em Griffiths (2018), para calcular a evolução dinâmica. Esta estratégia evita a integração temporal numérica direta pela rede, garantindo a conservação de unitariedade e proporcionando uma precisão espectral na descrição da evolução do sistema.

## 2. Metodologia

### 2.1 Modelo Físico

#### 2.1.1 A Equação de Schroedinger

Em 1925, o físico austríaco Erwin Schroedinger (1887-1961) formulou a equação fundamental que governa a dinâmica de sistemas quânticos não-relativísticos. Esta equação desempenha na Mecânica Quântica um papel análogo às Leis de Newton na Mecânica Clássica, permitindo prever a evolução temporal de estados físicos e as energias permitidas de sistemas como átomos e [1][2].

Em sua forma unidimensional dependente do tempo, a equação é expressa como:

$$i\hbar \frac{\partial \Psi(x, t)}{\partial t} = \hat{H}\Psi(x, t) \quad (1)$$

Em que  $\hat{H}$  é o operador Hamiltoniano representando a energia total do sistema e  $\hbar$  é a constante reduzida de Planck. A função  $\Psi(x, t)$  é a função de onda do sistema. A interpretação física desta função foi proposta pelo físico alemão Max Born (1882-1970) que postulou que o módulo ao quadrado da função de onda representa a densidade de probabilidade de encontrar a partícula em uma posição no instante  $t$  [1]:

$$P(x, t) = |\Psi(x, t)|^2 \quad (2)$$

Para uma partícula de massa  $m$  sujeita a um potencial  $V(x)$ , o Hamiltoniano é assoma dos operadores de energia cinética e potencial. Na representação de posição, o operador momento é dado por  $\hat{p} = -i\hbar \frac{\partial}{\partial x}$ , resultando em:

$$\hat{H} = -\frac{\hbar}{2m} \frac{\partial^2}{\partial x^2} + V(x) \quad (3)$$

Substituindo (3) em (1), obtemos a forma explícita da equação:

$$i\hbar \frac{\partial \Psi(x, t)}{\partial t} = -\frac{\hbar^2}{2m} \frac{\partial^2 \Psi(x, t)}{\partial x^2} + V(x)\Psi(x, t) \quad (4)$$

#### 2.1.2 Estados Estacionários e Unidades Naturais

Para potenciais independentes do tempo, aplicamos o método de separação de variáveis, assumindo uma solução da forma  $\Psi(x, t) = \psi(x)\phi(t)$ . Isso leva a uma solução temporal oscilatória  $\phi(t) = e^{-\frac{i}{\hbar}Et}$  e à equação de Schroedinger independente do tempo para a parte espacial:

$$-\frac{\hbar^2}{2m} \frac{\partial^2 \psi(x)}{\partial x^2} + V(x)\psi(x) = E\psi(x) \quad (5)$$

Neste trabalho, adotamos um sistema de unidades atômicas modificadas para simplificação numérica, onde definimos  $\hbar = 1$  e a massa  $m = \frac{1}{2}$ . Com essa convenção, a Equação (5) simplifica-se para a forma utilizada e implementada no algoritmo computacional:

$$-\frac{\partial^2 \psi(x)}{\partial x^2} + V(x)\psi(x) = E\psi(x) \quad (6)$$

O objetivo dos métodos numéricos, como o PINN proposto, é encontrar as autofunções  $\psi_n(x)$  e os autovalores de energia  $E_n$  que satisfazem a Eq. (6) sob determinadas condições de contorno. A solução geral para a dinâmica do sistema é então construída como uma superposição linear dos estados estacionários:

$$\Psi(x, t) = \sum_n \psi_n(x)e^{-\frac{i}{\hbar}Et} \quad (7)$$

### 2.1.3 O Oscilador Meio-Harmônico (Half-Harmonic Oscillator)

Como estudo de caso para validação do método, utilizamos o Oscilador Meio-Harmônico. Este modelo mantém a estrutura do potencial harmônico simples ( $V \propto x^2$ ), mas impõe uma barreira de potencial infinita na origem ( $x \leq 0$ ).

O potencial é definido como:

$$V(x) = \begin{cases} x^2, & x > 0 \\ \infty, & x \leq 0 \end{cases}$$

Esta modificação introduz uma condição de contorno de Dirichlet rígida em  $x = 0$ , ou seja,  $\psi(0) = 0$ . Fisicamente, as soluções para este sistema correspondem exatamente às soluções de paridade ímpar do oscilador harmônico completo ( $n = 1, 3, 5, \dots$  do oscilador completo, reindexados aqui como  $n = 0, 1, 2, \dots$ ). As soluções analíticas conhecidas [2] envolvem os Polinômios de Hermite  $H_k(x)$ :

$$\psi_n \propto H_{2n+1}(x) \sum_n \psi_n(x)e^{-\frac{x^2}{2}} \quad (8)$$

Este sistema é ideal para testar redes neurais informadas pela física (PINNs) pois exige que a rede aprenda não apenas a equação diferencial na região suave ( $x > 0$ ), mas também a descontinuidade abrupta e a condição de contorno na origem, desafiando a capacidade de aproximação do modelo.

Para as simulações dinâmicas apresentadas nos resultados, consideramos uma superposição equiprovável dos três primeiros níveis de energia ( $n = 0, 1, 2$ ) no domínio  $x \in [0, 6]$ .

### 2.1.4 Dinâmica via Mecânica Matricial

Uma das inovações deste trabalho é a abordagem híbrida para a simulação temporal. Ao invés de estender o treinamento da rede neural diretamente para o domínio temporal ( $t$ ) — o que aumentaria exponencialmente o custo computacional e a propagação de erros —, optou-se por construir a solução geral como uma superposição linear dos estados estacionários obtidos pela PINN:

$$\Psi(x, t) = \sum_n c_n \psi_n(x) e^{-iE_n t} \quad (9)$$

Em que  $c_n$  são os coeficientes complexos que determinam o estado inicial do sistema. Para calcular a evolução temporal de observáveis dinâmicos, especificamente a posição esperada  $\langle x \rangle(t)$  e o momento linear  $\langle p \rangle(t)$ , implementou-se um algoritmo de pós-processamento baseado no formalismo da Mecânica Matricial de Heisenberg. Este método consiste em três etapas fundamentais:

- I. Gauge Fixing (Correção de Fase): Devido à natureza estocástica da inicialização dos pesos, a rede neural pode convergir para autofunções com sinais globais arbitrários ( $\pm \psi_n$ ). Embora isso não afete a densidade estacionária  $|\psi|^2$ , a fase relativa é crucial para a dinâmica de superposição. Dessa forma, implementou-se um algoritmo que alinha a fase das funções de onda neurais com a convenção física padrão (alternância de paridade dos Polinômios de Hermite:  $+, -, +, \dots$ ), garantindo a correta interferência construtiva/destrutiva e, consequentemente, a direção correta do vetor momento linear.
- II. Integração de Precisão: Os elementos de matriz dos operadores de posição,  $X_{nm} = \langle n | \hat{x} | m \rangle$  e do momento  $P_{nm} = \langle n | -i \partial_x | m \rangle$ , são pré-calculados uma única vez. Para isso, utiliza-se a Regra de Simpson composta, que oferece uma precisão de ordem  $O(h^4)$ , minimizando ruídos numéricos decorrentes da discretização espacial.
- III. Evolução Analítica: Com as matrizes  $X$  e  $P$  construídas, a dinâmica não requer nova integração numérica a cada passo de tempo. A evolução é obtida via álgebra linear exata:

$$\langle \hat{O} \rangle(t) = c(t)^\dagger \cdot O_{matrix} \cdot c(t) \quad (10)$$

Em que o vetor de coeficientes evolui analiticamente como  $c_n(t) = c_n(0)e^{-iE_n t}$ . Isso garante que a simulação seja livre de erros de dissipação temporal, limitando-se apenas à precisão dos autoestados encontrados pela PINN.

## 2.2. Estrutura do Código Implementado

A implementação foi projetada de forma modular para garantir a reprodutibilidade e a separação clara de responsabilidades. O fluxo de execução é orquestrado pelo *script* principal `train.py`, que inicializa o experimento consumindo hiperparâmetros definidos externamente no arquivo `config.yaml`. O núcleo computacional reside na classe `PINNSolver1D` (`src/models`), responsável por instanciar a arquitetura da rede neural e minimizar a função de perda física para um único autoestado. A gestão de múltiplos níveis de energia é realizada pela classe `QuantumSystemTrainer` (em `src/utils`), que automatiza a descoberta sequencial de estados excitados impondo restrições de ortogonalidade. Por fim, a classe `SuperpositionManager` centraliza o pós-processamento físico, implementando algoritmos críticos como a correção de fase (*Gauge Fixing*), a

integração numérica de precisão (Simpson) e o formalismo da Mecânica Matricial para calcular e visualizar a dinâmica temporal exata dos observáveis.

A tabela a seguir relaciona as funções implementadas disponíveis para obtenção dos observáveis Físicos (posição e momento) que utilizam o formalismo da Mecânica Matricial. Como já mencionado, elas não integram a função de onda a cada passo de tempo; em vez disso, realizam a operação algébrica da Eq.(10), garantindo velocidade e precisão.

Tabela 1 – Métodos implementados para a obtenção dos observáveis.

Chamada	Objetivo	Saída
<code>expected_position_and_uncertainty_are_calculated(t_range, coefficients, num_points)</code>	Calcula a evolução temporal do valor esperado da posição $\langle x \rangle$ e sua incerteza $\sigma_x = \sqrt{\langle x^2 \rangle - \langle x \rangle^2}$ .	Gera um arquivo <code>.txt</code> contendo 4 colunas: Tempo, Valor Esperado, Limite Inferior ( $\langle x \rangle - \sigma_x$ ) e Limite Superior ( $\langle x \rangle + \sigma_x$ ).
<code>expected_position_and_uncertainty_are_plotted()</code>	Lê o arquivo <code>.txt</code> gerado pela função anterior e renderiza o gráfico.	Salva a imagem <code>_ExpectedPositionAndUncertainty.png</code> , exibindo a oscilação da partícula e a incerteza.
<code>expected_momentum_and_uncertainty_are_calculated(t_range, coefficients, num_points)</code>	Calcula a evolução temporal do momento linear $\langle p \rangle$ e sua incerteza $\sigma_p$ .	Gera um arquivo <code>.txt</code> com os dados numéricos.
<code>expected_momentum_and_uncertainty_are_plotted()</code>	Lê os dados de momento e plota as curvas.	Salva a imagem <code>_ExpectedMomentumAndUncertainty.png</code> .

A próxima tabela relaciona as funções implementadas para visualização da função de onda e a densidade de probabilidade. Estas funções reconstruem a solução completa, Eq.(9), para visualização direta do comportamento quântico.

Tabela 2 – Métodos implementados para visualização e comparação da função de onda.

Chamada	Objetivo	Saída
<code>plot_spacetime_density(t_max, steps)</code>	Gera um mapa de calor espaço-temporal, mostrando a evolução da densidade de probabilidade $ \Psi(x, t) ^2$ ao longo do tempo (até o valor máximo $t_{\text{max}}$ ) e posição. Permite visualizar a trajetória do pacote de onda "visto de cima".	Imagem <code>_Spacetime.png</code> .

<code>plot_snapshots(times_to_plot)</code>	Plota o perfil da densidade de probabilidade $ \Psi(x) ^2$ para instantes específicos de tempo (ex: <code>times_to_plot = [0, 1.5, 3.0]</code> ). Ilustra como o pacote de onda se deforma, se espalha ou se desloca no poço de potencial em momentos chave.	Imagem <code>_Snapshots.png</code> .
<code>plot_wavefunction_real(times_to_plot)</code>	Plota a Parte Real da função de onda: $\text{Re}[\Psi(x, t)]$ , mostrando que, diferente da densidade (sempre positiva), a parte real oscila entre positivo e negativo.	Imagem <code>_WaveFunction.png</code> .

### 2.3. O Solver PINN

O método proposto emprega uma rede neural como aproximador funcional universal para resolver o problema de autovalor da Equação de Schroedinger Independente do Tempo (Eq.(6)) de maneira contínua, eliminando a dependência de malhas de discretização (*mesh-free*). O modelo aprende simultaneamente a topologia da função de onda  $\psi(x)$  e o autovalor de energia  $E$  — tratado aqui como um parâmetro treinável — através da minimização de uma função de perda composta. Esta função penaliza matematicamente os resíduos da equação diferencial, as violações das condições de contorno e a ausência de normalização da densidade de probabilidade.

Para a obtenção do espectro de energia, aplica-se uma estratégia de treinamento sequencial com restrição de ortogonalidade. Após a convergência do estado fundamental, a rede é induzida, via termos adicionais na função de custo, a convergir para estados excitados que sejam ortogonais aos estados previamente descobertos. Essa abordagem converte a resolução da EDP em um problema de otimização, fornecendo bases estacionárias precisas que, subsequentemente, viabilizam o cálculo exato da dinâmica temporal via Mecânica Matricial.

Especificamente para o sistema do Oscilador Meio-Harmônico, a rede neural  $\mathcal{N}(x; \theta)$  é treinada para aproximar  $\psi_n(x)$  no domínio  $x \in [0, 6]$ . A função de perda total  $\mathcal{L}$ , responsável por guiar o aprendizado para comportamentos fisicamente consistentes, é definida como:

$$\mathcal{L} = \mathcal{L}_{PDE} + \lambda_{BC}\mathcal{L}_{BC} + \lambda_{Norm}\mathcal{L}_{Norm} + \lambda_{Ortho}\mathcal{L}_{Ortho}. \quad (11)$$

Em que os termos possuem as seguintes considerações físicas:

1. Física ( $\mathcal{L}_{PDE}$ ): O resíduo de Schroedinger  $\left| -\frac{1}{2} \frac{d^2\psi}{dx^2} + V\psi - E\psi \right|^2$ , calculado via diferenciação automática.
2. Condições de Contorno ( $\mathcal{L}_{BC}$ ): penaliza desvios dos valores esperados nas bordas do domínio (condição de Dirichlet:  $\psi(x_{min}) = \psi(x_{max}) = 0$ )

3. Normalização ( $\mathcal{L}_{Norm}$ ): Garante a interpretação probabilística da função de onda impondo  $\int |\psi(x)|^2 dx = 1$ . Este termo evita que a rede converja para a solução trivial nula ( $\psi = 0$ ).
4. Ortogonalidade ( $\mathcal{L}_{Ortho}$ ): Para encontrar estados excitados ( $n > 0$ ), penalizamos a sobreposição com estados anteriores já convergidos:  $\sum_{k < n} |\langle \psi | \psi_k \rangle|^2$ , forçando a descoberta de novos modos de vibração.

A função de perda (Eq. (11)) é uma soma ponderada de objetivos concorrentes. Os coeficientes  $\lambda$  atuam como hiperparâmetros de regularização para mitigar o problema de desequilíbrio de gradientes (*Gradient Pathology*). Como as condições físicas (fronteira e normalização) são restrições rígidas, atribuímos a elas pesos significativamente maiores que o resíduo da PDE para garantir que sejam satisfeitas prioritariamente durante a otimização.

Após testes iniciais de rapidez e coerência de convergência do algoritmo, adotou-se a seguinte configuração empírica para garantir a convergência correta do método:

Tabela 3 - Hiperparâmetros utilizados na função de Loss.

Hiperparâmetro	Valor	Função
$\lambda_{PDE}$	1.0	Referência base
$\lambda_{BC}$	100.0	Reforça estritamente as condições de Dirichlet.
$\lambda_{Norm}$	100.0	Penalidade alta para evitar o colapso para a solução trivial nula.
$\lambda_{Ortho}$	500.0	O peso mais elevado é atribuído à ortogonalidade para criar uma barreira de potencial efetiva na superfície de perda, impedindo que os estados excitados sejam levados para o estado fundamental (colapso variacional).

Para a otimização, adotou-se uma estrutura híbrida, utilizando uma estratégia de dois estágios. Inicialmente, o otimizador Adam [3] é usado para exploração global. Em seguida, é aplicado o otimizador L-BFGS [5], um método de quase-Newton, com *learning rate* unitário para refinamento de alta precisão (atingindo perdas da ordem de  $10^{-13}$ ).

A tabela a seguir mostra os parâmetros utilizados nos otimizadores.

Tabela 4 – Otimizadores e parâmetros utilizados na busca do autovalor de energia  $E_n$ . Argumentos implícitos seguiram o padrão Default do PyTorch

Adam			
	Argumento	Valor	Função
<b>Rede Neural</b>	self.model.parameters()	N/A	Todos os pesos e vieses da MLP
	Learning Rate (lr)	5e-5	Taxa pequena para garantir estabilidade e evitar que a função de onda "quebre" ou oscile demais enquanto aprende a forma suave).
	[self.E]	N/A	Apenas o escalar da energia.

<b>Autovalor de Energia</b>	Learning Rate (lr)	5e-2	Taxa 1000x maior que a da rede. Necessário para o valor de $E$ "saltar" rapidamente (ex: de 2.0 para 7.0) no início do treino, enquanto os pesos da rede precisam apenas de ajustes finos.
-----------------------------	--------------------	------	--

L-BFGS		
Argumento	Valor	Função
params	list(model) + [E]	Lista de tensores para otimizar. Inclui os pesos da rede neural e o autovalor de energia $E$ .
lr	1.0	Taxa de aprendizado (step size). Em métodos de Newton, o passo natural matemático é 1.0. Valores menores inibem a inteligência do otimizador. O <i>Line Search</i> reduzirá esse valor se necessário.
max_iter	epoches_lbfsgs=6000	Máximo de iterações por chamada de <code>step()</code> . Como chamamos o <code>step()</code> apenas uma vez fora do loop, isso define a duração total do treinamento nesta fase.
max_eval	epoches_lbfsgs * 1.25	Máximo de chamadas à função <code>closure()</code> . O <i>Line Search</i> pode precisar avaliar a função de perda várias vezes para validar um único passo. Por segurança, definimos um valor maior que <code>max_iter</code> .
history_size	500	Memória da correção da Hessiana. Foi utilizado 500 (default = 100) para o otimizador ter uma "memória" maior da curvatura do problema, melhorando a precisão em vales estreitos.
tolerance_grad	1e-12 ( $10^{-12}$ )	Critério de parada: Gradiente. Se a norma do gradiente for menor que o valor, ele para. Necessário trabalhar com <code>float64</code> .
tolerance_change	1e-12 ( $10^{-12}$ )	Critério de parada: Mudança. Se a <i>Loss</i> ou os parâmetros mudarem menos que isso entre dois passos, ele assume convergência e para.
line_search_fn	"strong_wolfe"	Algoritmo de busca de linha. Garante que o passo dado satisfaça as condições de Wolfe (redução suficiente da energia e da curvatura).

Por fim, as configurações utilizadas para as iterações de treino do modelo foram as seguintes:

Tabela 5 – Otimizadores e seus parâmetros utilizados na busca do autovalor de energia  $E_n$ . Argumentos implícitos seguiram o padrão Default do PyTorch

Aplica ao	Argumento	Valor	Função
Modelo	layers	[1, 64, 64, 64, 1]	Topologia da rede neural. Uma entrada, 3 camadas profundas com 64 neurônios cada e ativação $tanh$ e uma saída.
	n_points	10000	Número de pontos de colação amostrados aleatoriamente no domínio (usados para calcular o resíduo da equação diferencial (física) durante o treino).
Treinamento	N_sates	3	Instrução para a classe <code>QuantumSystemTrainer</code> encontrar sequencialmente os 3 primeiros autovalores de energia ( $n = 0, 1, 2$ ).
	initial_E0_guess	0.0	Valor inicial para o parâmetro treinável $E$ ao buscar o estado fundamental.
	delta_E_guess	1.0	Estimativa do "salto" de energia entre níveis. Usado para inicializar a busca do próximo estado ( $E_{n+1} \approx E_{final\_n} + \Delta E$ ).
	epochs_adam	7000	Ciclos usando o otimizador Adam (exploração global rápida para escapar de mínimos locais iniciais).
	epochs_lbfqs	6000	Ciclos usando o otimizador L-BFGS (refinamento de alta precisão para garantir que o erro da equação diferencial caia para níveis próximos de zero ( $10^{-6}$ ou menos)).

### 3. Resultados e Discussão

O modelo foi validado comparando-se os resultados com um Método Espectral clássico, implementado seguindo as diretrizes de Trefethen (2000) [7] e utilizando como ferramenta computacional a biblioteca disponível para a linguagem Python: PySpectral Quantum Solver<sup>1</sup>, considerado o *baseline* de alta precisão para este problema.

<sup>1</sup> Disponível em: <https://github.com/Legeandre/PySpectral-Quantum-Solver.git>

### 3.1. Precisão dos Autovalores

O uso de precisão dupla (`float64`) e otimização L-BFGS permitiu uma convergência adequada das energias, conforme mostrado na Tabela 6.

Tabela 6 – valores obtidos para a energia  $E_n$ , de acordo com o método empregado.

Estado (n)	Energia			Diferença PIN - Espectral
	Teórica	PINN	Espectral	
0	3.0	2.999992545	2.999999999	$7.454 \cdot 10^{-6}$
1	7.0	6.999999862	7.000000000	1.38e-7
2	11.0	11.000004891	11.000000031	4,86e-6

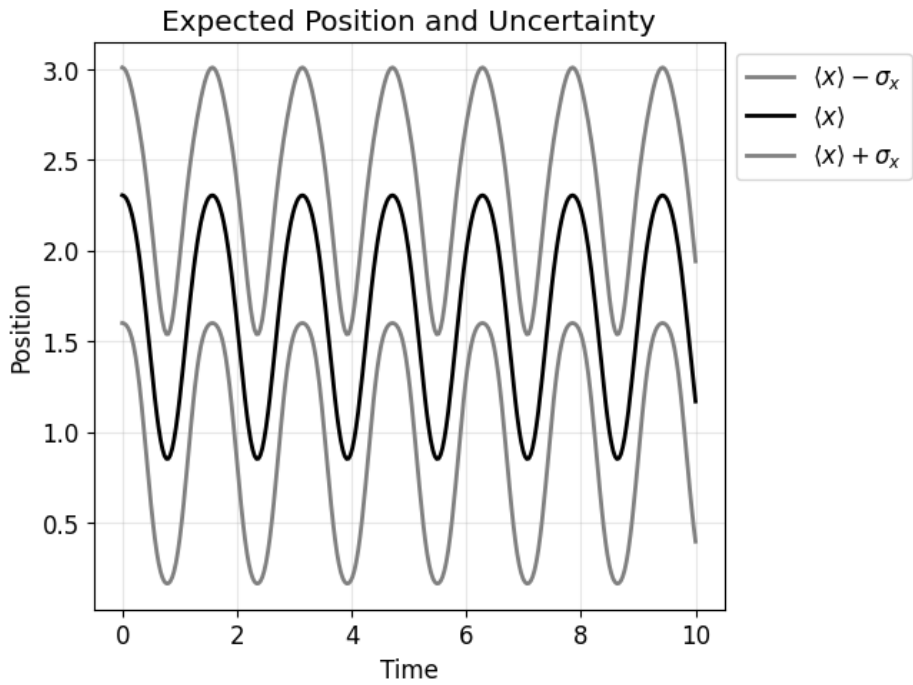
O método espectral apresenta vantagem em termos de velocidade de execução, sendo eficiente para os primeiros níveis de energia. Contudo, sua precisão é limitada pela resolução da malha, degradando-se conforme o número quântico  $n$  aumenta e as funções de onda tornam-se mais oscilatórias. Diferentemente, a abordagem híbrida com PINN, por não depender de malhas fixas, sustenta seu nível de precisão mesmo para estados mais altos, embora exija um custo computacional significativamente maior devido à natureza iterativa do treinamento da rede neural.

### 3.2. Dinâmica do Pacote de Onda

Para gerar os dados para a reprodução da dinâmica do pacote de onda no problema estudado, simulamos uma superposição equiprovável dos três estados com coeficientes  $c_0 = c_1 = c_2 = 1$ , dentro do intervalo de tempo de 0 a 10 s. As Figuras abaixo comparam a evolução temporal obtida pelo método híbrido com PINN, comparado aos resultados obtidos utilizando o método Espectral, obtidos por meio dos métodos disponíveis na biblioteca PySpectral.

Para a Posição Esperada  $\langle x \rangle$ , o método implementado, usando PINN, conseguiu capturar perfeitamente a oscilação e o amortecimento/batimento característico do modelo analisado. O resultado pode ser observado na Figura 1- A, que compara o resultado para o mesmo problema obtido via método espectral, Figura 1 - B.

(A)



(B)

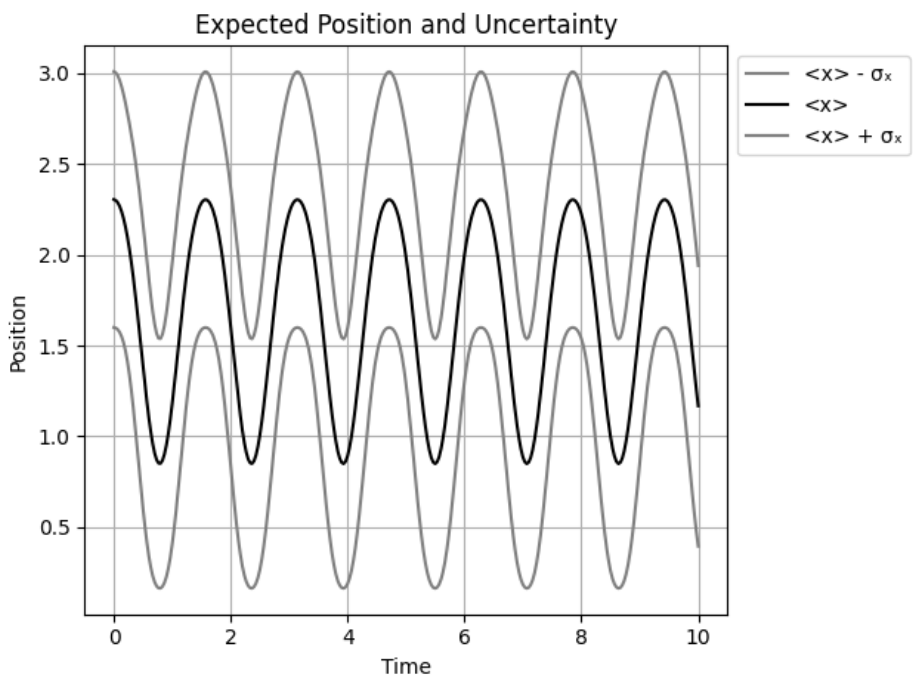


Figura 1 – Resultado obtido para a posição esperada: (A) utilizando o método híbrido com PINN; (B) via método espectral utilizando a biblioteca PySpectral-Quantum-Solver.

A evolução temporal da densidade de probabilidade  $|\Psi(x, t)|^2$ , apresentada na Figura 2, confirma a capacidade do método híbrido em descrever a localização e a dispersão do pacote de onda. A PINN reproduziu com precisão os padrões de interferência construtiva e destrutiva resultantes da superposição dos estados  $n = 0, 1, 2$ .

É fundamental destacar que, em uma superposição de estados, a distribuição espacial de probabilidade depende sensivelmente das fases relativas entre as autofunções (devido aos termos cruzados do tipo  $2\psi_n\psi_m \cos(\Delta Et)$ ). A concordância observada entre a PINN (Figura 2 – A) e o método espectral (Figura 2 – B) demonstra o sucesso da estratégia de Gauge Fixing. Ao padronizar os sinais iniciais das autofunções

neurais, garantiu-se que o pacote de onda iniciasse sua trajetória na mesma região do poço de potencial que o *baseline*, eliminando a ambiguidade de espelhamento espacial (*spatial mirroring*) inerente à natureza estocástica do treinamento de redes neurais.

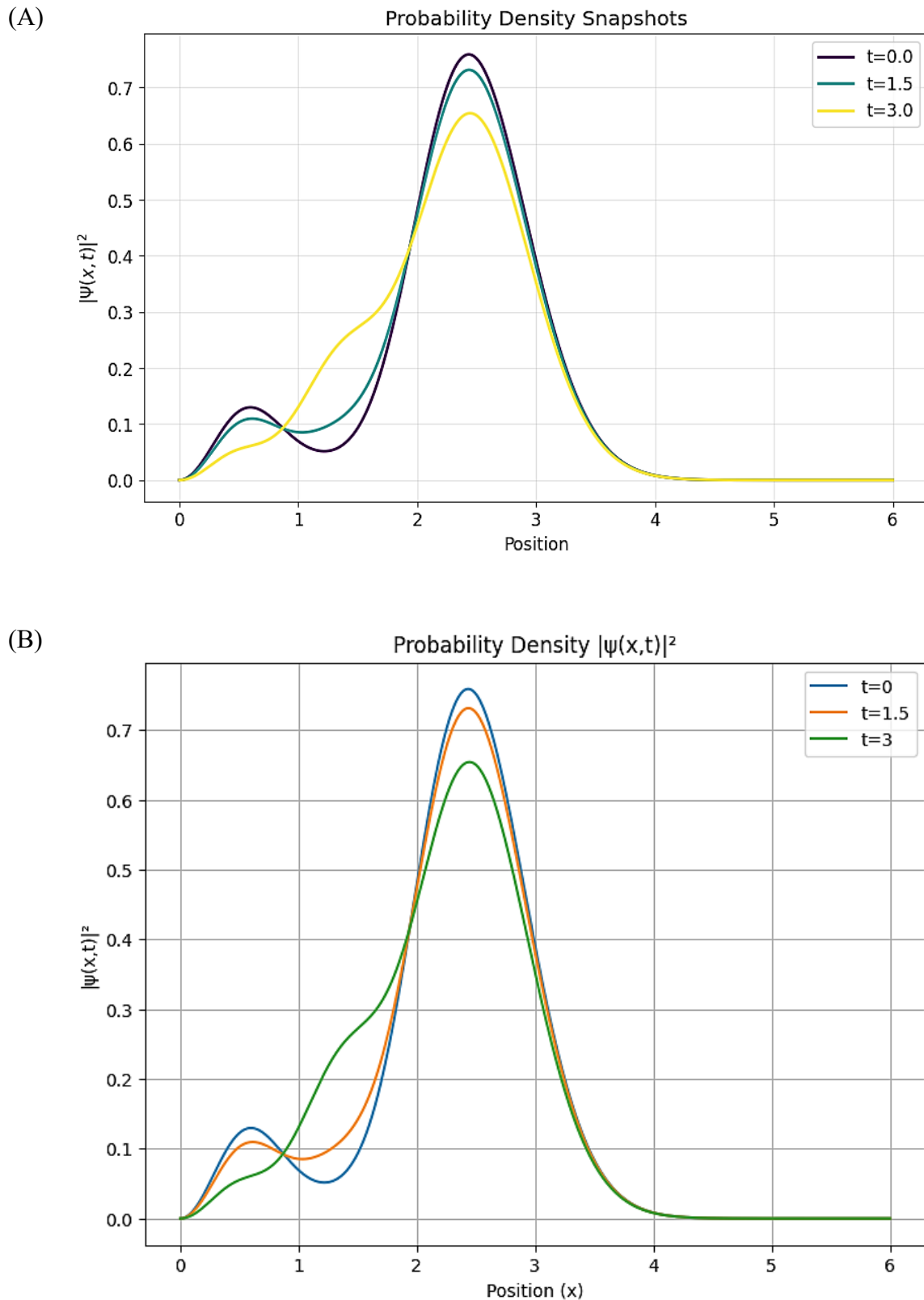


Figura 2 – Evolução da densidade de probabilidade  $|\Psi(x, t)|^2$ : (A) Simulação via PINN com correção de fase; (B) Simulação de referência via método espectral. Observa-se a identidade nos padrões de batimento e localização do pacote.

Para o momento linear obtemos o seguinte resultado e sua comparação:

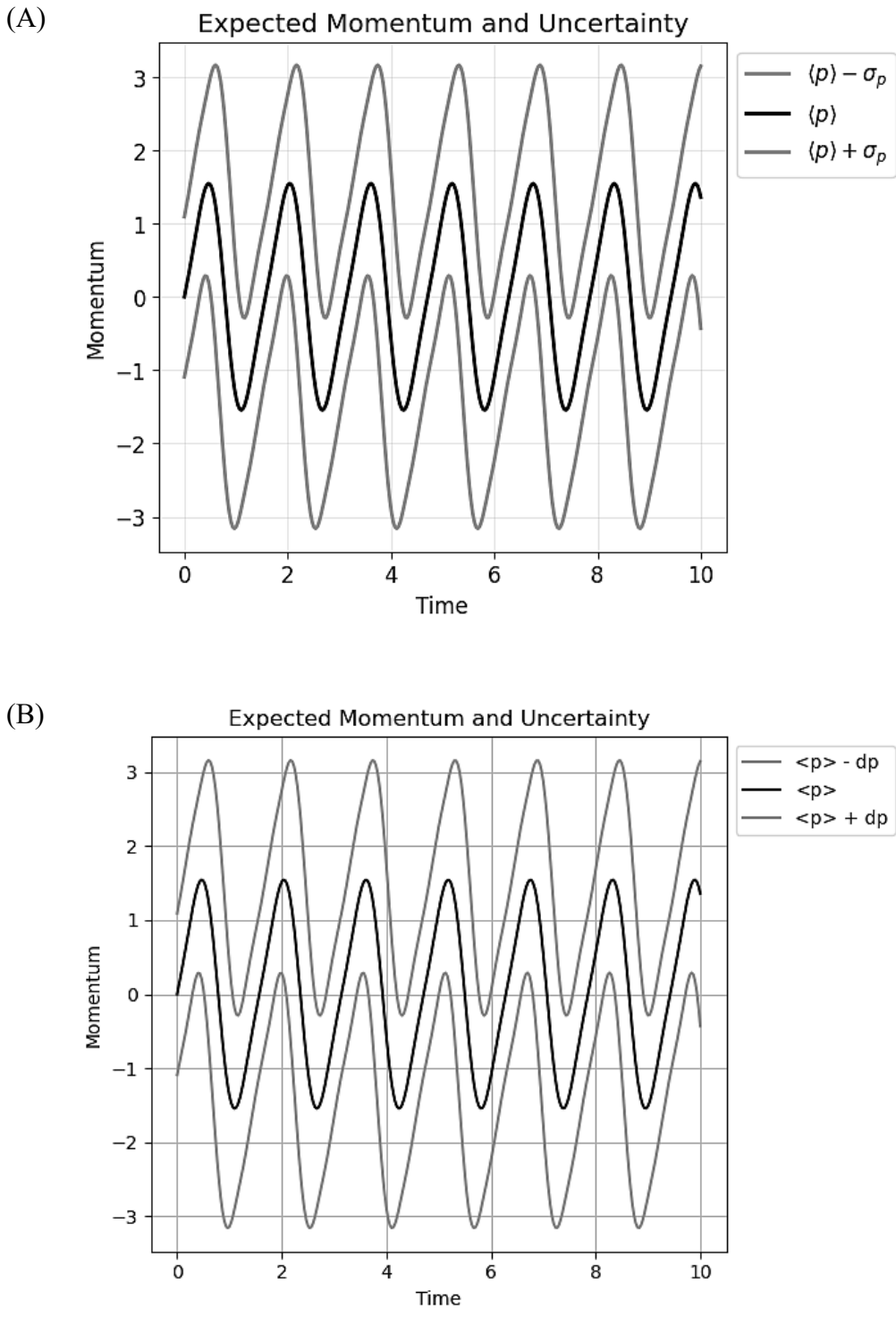
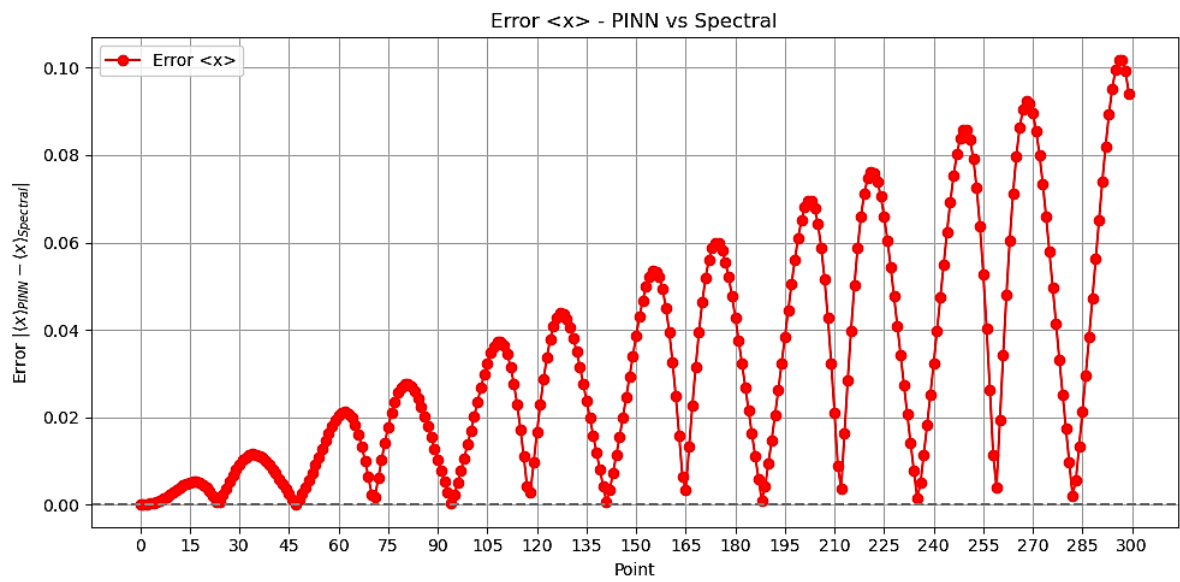


Figura 3 – Resultado obtido para o momento esperado: (A) utilizando o método híbrido com PINN; (B) via método espectral utilizando a biblioteca PySpectral-Quantum-Solver.

A comparação entre os resultados do momento linear, apresentada na Figura 3, revela uma excelente concordância quantitativa entre o método híbrido proposto (A) e o *baseline* espectral (B). Ambas as abordagens exibem o mesmo padrão oscilatório característico, com amplitude variando simetricamente em torno de zero (aprox.  $\pm 1.5$  u.a.) e periodicidade idêntica, o que confirma a precisão dos autovalores de energia ( $E_n$ ) aprendidos pela PINN, visto que a frequência de oscilação depende diretamente das diferenças de energia ( $\Delta E$ ).

Por fim, para uma melhor avaliação numérica dos resultados obtidos, comparamos os valores encontrados pelos métodos no cálculo da posição esperada e do momento, gerando dois gráficos a partir das diferenças nesses valores.

(A)



(B)

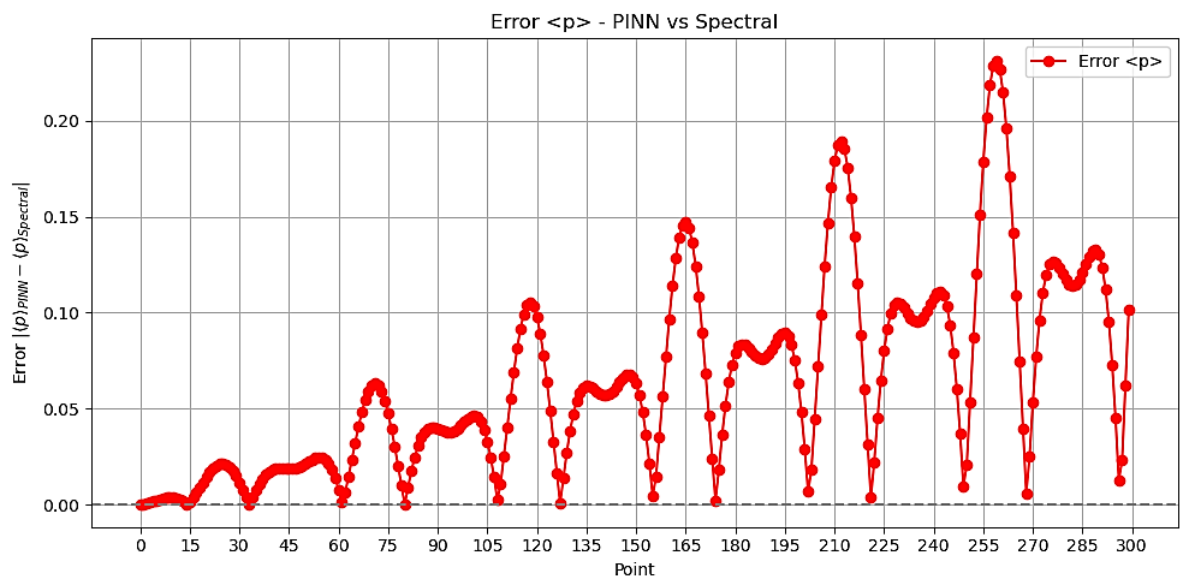


Figura 4 – Diferença dos valores obtidos: (A) para a posição esperada (B) para o momento esperado, utilizando o método PINN e o Espectral.

As figuras comparativas da dinâmica (Figura 4) demonstram que o método híbrido PINN reproduziu com alta fidelidade tanto a amplitude quanto a fase dos observáveis  $\langle x \rangle$  e  $\langle p \rangle$ . A sobreposição das curvas confirma que a rede neural aprendeu corretamente as frequências de oscilação (diferenças de energia  $\Delta E$ ) e a estrutura espacial dos autoestados.

Para quantificar a precisão, analisamos a evolução temporal do erro absoluto em relação ao *baseline* espectral, conforme apresentado nos gráficos de erro. Observa-se um desvio máximo de aproximadamente 0.10 u.a. para a posição e 0.23 u.a. para o momento ao final da simulação ( $t = 10$ ). O comportamento do erro exibe uma envoltória de crescimento linear oscilatório, atribuído à combinação de dois fatores:

1. Desvio de Fase Acumulativo: a dinâmica quântica é regida por fatores de fase  $e^{-iE_n t}$ . Diferenças infinitesimais (da ordem de  $10^{-4}$  a  $10^{-5}$ ) entre os autovalores de energia preditos pela PINN e os calculados pelo método Espectral resultam em uma defasagem que se acumula proporcionalmente ao tempo ( $\Delta\phi \propto \Delta E \cdot t$ ). Como o momento linear depende sensivelmente da interferência de fases (derivada temporal da fase), é natural que seu erro acumulado seja ligeiramente superior ao da posição.
2. Divergências de Implementação Numérica: embora ambos os métodos utilizem precisão de ponto flutuante, suas bases numéricas são distintas. A PINN utiliza derivação automática (analítica e exata) e integração de alta ordem (Simpson) sobre funções contínuas. Em contrapartida, o método espectral depende de diferenças finitas e integração trapezoidal em grade discreta, introduzindo erros de truncamento. Portanto, parte da discrepancia observada não é erro da PINN, mas sim a diferença natural entre uma solução contínua e uma solução discretizada.

Assim, concluímos que o erro relativo se manteve abaixo de 5% para a posição e 7% para o momento em relação à amplitude máxima de oscilação. Isso valida a eficácia da estratégia híbrida (PINN + Mecânica Matricial) para simulações dinâmicas, demonstrando que o método é capaz de preservar as propriedades físicas do sistema (como a unitariedade e a correlação entre posição e momento) sem a necessidade de malhas densas ou passos de tempo numéricos.

#### 4. Conclusão

O presente estudo validou a eficácia das Physics-Informed Neural Networks (PINNs) na resolução de problemas de autovalor em mecânica quântica, alcançando elevada precisão sem a necessidade de malhas de discretização. A contribuição central deste trabalho reside na estratégia híbrida que integra as autofunções espaciais obtidas pela rede neural com o formalismo da Mecânica Matricial.

A implementação proposta destacou-se pela estabilidade numérica ao substituir aproximações tradicionais por cálculos exatos e analíticos. O uso de diferenciação automática (`autograd`) permitiu extrair derivadas baseadas na estrutura interna suave da rede (funções de ativação  $Tanh \in C^\infty$ ), superando os erros de truncamento e o ruído inerentes aos métodos de diferenças finitas. Adicionalmente, a precisão dos observáveis foi assegurada pelo pré-cálculo dos elementos de matriz  $\langle n | \hat{O} | m \rangle$  via Regra de Simpson de quarta ordem.

Esta abordagem contornou eficazmente as dificuldades computacionais de treinar PINNs dependentes do tempo. Ao adotar uma evolução temporal puramente analítica ( $e^{-iE_n t}$ ), o método eliminou a dependência de passos de tempo numéricos e a acumulação de erros de propagação. O resultado é uma simulação dinâmica rápida, livre de instabilidades numéricas e fisicamente consistente com a literatura estabelecida.

Embora este trabalho tenha se limitado à aplicação no Oscilador Meio-Harmônico, a metodologia desenvolvida possui alto potencial de generalização. Trabalhos futuros visam a expansão deste *framework* para um algoritmo agnóstico ao potencial, estruturando os métodos de *Gauge Fixing* e dinâmica matricial em uma biblioteca unificada. Isso permitirá que a abordagem híbrida seja aplicada sistematicamente a uma classe mais ampla de problemas quânticos, onde soluções analíticas não estão disponíveis.

## 5. Referências Bibliográficas

- [1] **EISBERG, R.; RESNICK, R. (1985).** *Quantum Physics of Atoms, Molecules, Solids, Nuclei, and Particles* (2nd ed.). John Wiley & Sons.
- [2] **GRIFFITHS, D. J.; SCHROETER, D. F. (2018).** *Introduction to Quantum Mechanics* (3rd ed.). Cambridge University Press.
- [3] **KINGMA, D. P.; BA, J. (2014).** Adam: A Method for Stochastic Optimization. *arXiv preprint arXiv:1412.6980*.
- [4] **LAGARIS, I. E.; LIKAS, A.; FOTIADIS, D. I. (1998).** Artificial neural networks for solving ordinary and partial differential equations. *IEEE Transactions on Neural Networks*, 9(5), 987-1000.
- [5] **LIU, D. C.; NOCEDAL, J. (1989).** On the limited memory BFGS method for large scale optimization. *Mathematical Programming*, 45(1), 503-528.
- [6] **RAISSI, M.; PERDIKARIS, P.; KARNIADAKIS, G. E. (2019).** Physics-informed neural networks: A deep learning framework for solving forward and inverse problems involving nonlinear partial differential equations. *Journal of Computational Physics*, 378, 686-707.
- [7] **TREFETHEN, L. N. (2000).** *Spectral Methods in MATLAB*. SIAM.